

В.М. БУРЛАСНКО, канд. техн. наук, доц., НТУ «ХПІ»;
О.К. МОРАЧКОВСЬКИЙ, д-р техн. наук, проф., НТУ «ХПІ»

ЗАСТОСУВАННЯ КІНЕМАТИЧНОГО КОНТАКТНОГО АЛГОРИТМУ З ЯВНОЮ СХЕМОЮ ІНТЕГРУВАННЯ ЗА ЧАСОМ У СКІНЧЕНОЕЛЕМЕНТНИХ ЗАДАЧАХ ДИНАМІКИ ТІЛ З ТРИЩИНОЮ

Розглянуто кінематичний контактний метод в рамках явної схеми інтегрування за часом у скінченоеlementному моделюванні. Означений алгоритм застосовується щодо розв'язання задач нелінійної динаміки тіла з тріщиною, береги якої контактують між собою. Ефективність та стабільність алгоритму показано на прикладі розв'язання задачі щодо оцінки динамічної поведінки балки з композиційного тришарового матеріалу, в якому поміж верхнім та середнім шарами існує нещільність.

Ключові слова: динаміка тіла з тріщиною; контактний аналіз; метод скінчених елементів.

Вступ. Розробка методів розв'язання задачі динаміки тіла з тріщиною, береги якої взаємодіють між собою за рахунок контакту і/або тертя, є одною з важливих сучасних проблем механіки [1]. Узагалі підходи щодо рішення цієї задачі ґрунтуються на зв'язку методів теорії коливання тіла з контактними алгоритмами. При цьому, якщо коливання тіла, при деяких припущеннях, можуть бути змодельованими у лінійній постановці, то поведінка берегів тріщини у контакті описується тільки з позицій нелінійних моделей, оскільки одночасно заздалегідь невідоме ні поле переміщень, ні контактні сили, ні навіть контактні пари на взаємодіючих поверхнях. Тому основною характеристикою рішень подібних динамічних систем є їх значна нелінійність, негладкість та потенціальна погана обумовленість. В зв'язку з цим існують на сучасний момент значні труднощі в моделюванні динаміки тіла з тріщиною.

Метод скінчених елементів (МСЕ) один з найбільш поширених чисельних методів, що застосовуються у різних задачах механіки [2]. Скінченоеlementний підхід також успішно використовується у рішенні контактних задач [3]. Але контактний аналіз за схемою МСЕ, у порівнянні з багатьма іншими лінійними та нелінійними структурними аналізами, на сьогоднішній день ще не має закінченості щодо точності і стабільності алгоритмів, які впроваджуються. Питання, які пов'язані з ефективним пошуком поверхонь, що мають бути у контакті, згладжуванням дискретизованих скінченими елементами контактуючих поверхонь, способом впровадження контактних умов на цих поверхнях та побудовою різних типів контактних моделей не вирішені остаточно і є предметом подальших наукових досліджень [4]. Крім того вирішення цих питань вимагає їх узгодженості зі схемами інтегрування за часом.

Добре відомо, що система скінченоелементних рівнянь руху може бути розв'язана методами, які поділяються на дві категорії: неявні та явні [2]. Для перших повна система диференціальних рівнянь для кожного кроку у часі вирішується з залученням ітераційних схем та перевіркою критерію збіжності. Явні ж схеми переформулюють систему диференціальних рівнянь у форму, що дозволяє їх безпосереднє розв'язання наприкінці кожного кроку часу без ітерацій. Завдяки цьому останні більш ефективні у задачах динаміки. Треба зазначити, що при виконанні контактної аналізи комбінація його компонентів, таких як методи дискретизації, контактні алгоритми та схеми інтегрування за часом, є неоднозначною. Наприклад відомо, що *метод коефіцієнтів Лагранжа з неявною схемою Ньюмарка* призводять до неіснуючих осциляцій у контактних силах та невиконанню принципу зберігання енергії у випадку обчислень за *формулою трапеції*, а *метод штрафу з явною схемою* порушує стабільність процесу інтегрування [3].

Підсумовуючи вище сказане очевидно, що оптимальний вибір контактної алгоритму спільно з визначеною схемою інтегрування за часом у скінченоелементних постановках задач з урахуванням контакту і/або тертя є головною запорукою для отримання надійних результатів та ефективного моделювання. У статті описується *кінематичний контактний алгоритм* у рамках явної схеми інтегрування за часом щодо його застосування у дослідженнях динамічної поведінки тіла з тріщиною, границі якої контактують поміж собою. Точність і ефективність вживаних процедур у динамічному контактному аналізі показано на прикладі розрахунку динамічної поведінки балки з композиційного тришарового матеріалу, яка має нещільною зоною поміж верхнім та середнім шарами.

Скінченоелементні рівняння руху з урахуванням контакту. Скінченоелементна модель нелінійної динаміки тіла з тріщиною, береги якої контактують, з припущеннями щодо лінійності матеріалу та малих деформацій, у подробицях розглянуто в роботі [5]. Тому у поточній статті ці основні положення наведено скорочено. Використовуючи скінченоелементну апроксимацію з урахуванням контактних сил, що передбачаються відомими у визначений момент часу, рух тіла визначаються наступною системою рівнянь:

$$\mathbf{M}\ddot{\mathbf{U}} + \mathbf{C}\dot{\mathbf{U}} + \mathbf{K}\mathbf{U} = \mathbf{F}^{ext} - \mathbf{F}^{cont}(\mathbf{U}, t_N, \mathbf{t}_T), \quad (1)$$

де матриці \mathbf{M} , \mathbf{C} і \mathbf{K} відповідають глобальним матрицям мас, демпфірування та жорсткості; $\ddot{\mathbf{U}}$, $\dot{\mathbf{U}}$ і \mathbf{U} означають глобальні вектори невідомих прискорень, швидкостей та переміщень; \mathbf{F}^{ext} і \mathbf{F}^{cont} становлять глобальні вектори зовнішніх та контактних сил. Крім того рішення системи (1) узгоджене з заданими крайовими і початковими умовами та відповідає умовам контакту.

Рівняння стану, що визначають взаємодію берегів тріщини, взагалі, є функцією їх переміщень і контактних сил, діючих на них. Кінематика берегів

тріщини у нормальному напрямку описується за допомогою скалярної функції проникнення g_N , яка задана для пари точок на контактуючих поверхнях, таких що точка \mathbf{x}^+ є найближчою до точки \mathbf{x}^- :

$$g_N \equiv (\mathbf{x}^+ - \mathbf{x}^-) \cdot \mathbf{n}^+ = g_0 + (\mathbf{u}^+ - \mathbf{u}^-) \cdot \mathbf{n}^+, \quad (2)$$

де $g_0 = (\mathbf{X}^+ - \mathbf{X}^-) \cdot \mathbf{n}^+$ – початкове значення функції та \mathbf{n}^+ – одинична зовнішня нормаль до поверхні контакту, яка є відновлена з \mathbf{x}^+ .

Аналогічно, відносний рух контактуючих поверхонь у горизонтальному напрямку визначається вектор-функцією \mathbf{g}_T , тобто проекцією вектора $(\mathbf{x}^+ - \mathbf{x}^-)$ на одиничні вектори \mathbf{a}_α^+ , $\alpha = 1, 2$, які тангенціальні до поверхні контакту у точці контакту і такі, що визначають тангенціальний напрямок руху:

$$\mathbf{g}_T \equiv [(\mathbf{x}^+ - \mathbf{x}^-) \cdot \mathbf{a}_\alpha^+] \mathbf{a}_\alpha^+ = [(\mathbf{X}^+ - \mathbf{X}^-) \cdot \mathbf{a}_\alpha^+] \mathbf{a}_\alpha^+ + (\mathbf{u}^+ - \mathbf{u}^-) \cdot \mathbf{a}_\alpha^+ \mathbf{a}_\alpha^+ \quad (3)$$

Для того, щоб знайти траєкторію руху поверхонь однієї по другій в умовах тертя ковзання, швидкість тангенціальної функція \mathbf{g}_T визначається співвідношенням [4]:

$$\mathbf{L}_v \mathbf{g}_T = (\mathbf{v}^+ - \mathbf{v}^-) \cdot (\mathbf{a}^\alpha \otimes \mathbf{a}_\alpha), \quad (5)$$

де \mathbf{L}_v позначає похідну Лі вектора-функції по напрямку вектора швидкості тангенціального руху.

Контактний тиск \mathbf{t}_c поміж поверхнями в розглянутій точці контакту може бути розкладений на нормальну \mathbf{t}_N та тангенціальну \mathbf{t}_T складові, такі що

$$\mathbf{t}_N = t_N \mathbf{n}^+ \text{ і } \mathbf{t}_T = -(\mathbf{I} - \mathbf{n}^+ \otimes \mathbf{n}^+) \cdot \mathbf{t}_c, \quad (6)$$

де t_N визначає значення нормального контактного тиску.

Використовуючи введені позначення, умови непроникності берегів тріщини записуються у формі критерію Куна-Такера як наступні:

$$t_N \geq 0, \quad g_N \leq 0 \text{ та } t_N g_N = 0 \quad (7)$$

У випадку тангенціального контакту функція \mathbf{g}_T ненульова лише в ситуації ковзання, яке асоціюється з явищем тертя. Уживаючи закон тертя Кулона у формі аналогічної теорії пластичності [3], умови злипання і ковзання берегів тріщини набувають вигляду нерівностей:

$$\Phi(\mathbf{t}_T, t_N) = |\mathbf{t}_T| - \mu t_N \leq 0, \quad \mathbf{L}_v \mathbf{g}_T = \dot{\gamma} \mathbf{t}_T / |\mathbf{t}_T|, \quad \dot{\gamma} \geq 0, \quad \Phi \dot{\gamma} = 0 \quad (8)$$

Отже, стан інтерфейсу поміж берегами тріщини визначається нерівностями (7) і (8), котрі створюють додаткові умови щодо рішення системи (1).

Неявна схема інтегрування за часом. Матричне рівняння (1) є системою нелінійних диференціальних рівнянь, яка, в загальному випадку, для знаходження невідомих переміщень вимагає використання інкрементально-

ітераційних процедур рішення [2]. Таким чином система (1) на скінченному числі кроків у часі переписується у вигляді системи рівнянь

$$\mathbf{M}\ddot{\mathbf{U}}_{i+1} + \mathbf{C}\dot{\mathbf{U}}_{i+1} + \mathbf{K}\mathbf{U}_{i+1} = \mathbf{F}_{i+1}^{ext} - \mathbf{F}_{i+1}^{cont}, \quad (9)$$

де прискорення $\ddot{\mathbf{U}}_{i+1}$, швидкості $\dot{\mathbf{U}}_{i+1}$ і переміщення \mathbf{U}_{i+1} , також як зовнішні та контактні сили, відповідають прирощенню часу $\Delta t_{i+1} = t_{i+1} - t_i$.

Слідуючи алгоритму явної схеми інтегрування за часом, що використовує скінчено-різницевий оператор, розв'язання системи (1) на початку кожного кроку Δt_{i+1} виконується за формулою обчислення прискорення:

$$\ddot{\mathbf{U}}_i = \tilde{\mathbf{M}}^{-1} \cdot (\mathbf{F}_i^{ext} - \mathbf{F}_i), \quad (10)$$

де $\tilde{\mathbf{M}}$ – діагональна матриця мас; \mathbf{F}_i^{ext} – вектор зовнішніх сил на момент часу t_i ; \mathbf{F}_i – сума сил в вузлах трьох типів: внутрішніх $\mathbf{F}_i^{int} = \mathbf{K}\mathbf{U}_i$, демпфірування $\mathbf{F}_i^{damp} = \mathbf{C}\dot{\mathbf{U}}_i$ та контактних \mathbf{F}_i^{cont} . Ці сили є відомими з обчислень, виконаних раніше на кроці Δt_i . Далі скінчено-різницевий оператор просуває рішення щодо обчислення швидкостей на момент часу $t_i + 0.5\Delta t_{i+1}$ і переміщень на момент $t_i + \Delta t_{i+1}$ за формулами

$$\dot{\mathbf{U}}_{i+\frac{1}{2}} = \dot{\mathbf{U}}_{i-\frac{1}{2}} + \frac{\Delta t_{i+1} + \Delta t_i}{2} \ddot{\mathbf{U}}_i \quad \text{і} \quad \mathbf{U}_{i+1} = \mathbf{U}_i + \Delta t_{i+1} \dot{\mathbf{U}}_{i+\frac{1}{2}}, \quad (11)$$

де початкове запізнення у швидкості $\dot{\mathbf{U}}_{i-\frac{1}{2}}$ обчислюється в залежності від заданих початкових умов.

Зазначимо, що явна схема інтегрування за часом є умовно стабільною, тобто значення інкременту Δt_i у (9) повинно бути менше, чим границя стабільності скінчено-різницевого оператора [2]. Приблизною оцінкою цієї границі може бути час, за який звукова хвиля проходить через найменший елемент скінченоелементної сітки.

Кінематичний контактний алгоритм. Як було зазначене вище, передбачається, що вектор контактних сил в системі (9) обчислюється за кінематичним контактним алгоритмом. Цей алгоритм відноситься до *методу предиктор-коректор*, який дозволяє точно накласти кінематичні обмеження (7) і (8), що обумовлені контактом. Основні кроки контактного алгоритму на інкременті інтегрування Δt_{i+1} явної схеми є наступними.

У фазі *предиктор* кінематичний стан моделі обчислюється за формулами (10) і (11), ігноруючи контактні умови (7) і (8). Таким чином, проникнення між контактуючими поверхнями може виникнути. Сила, що ставить опір прониканню (або нормальна складова контактної тиску) може бути знайденою за формулою:

$$f_N = md_N^{pred} / (\Delta t_{i+1})^2, \quad (12)$$

де m – маса вузла \mathbf{x}^- , що проникнув у поверхню контакту та d_N^{pred} – глибина проникання.

Аналогічно, сила опору ковзанню вузла \mathbf{x}^- по контактній поверхні відносно вузла \mathbf{x}^+ в одному із напрямків (або тангенціальна складова контактного тиску) знаходиться

$$f_T = -m\dot{d}_T^{pred} / \Delta t_{i+1}, \quad (13)$$

де \dot{d}_N^{pred} – швидкість відносного тангенціального руху у напрямку α .

У фазі *коректор* прискорення вузлів, які мали проникнення і/або ковзання тертя корегуються за формулою:

$$\ddot{\mathbf{U}}_{\mathbf{x}^-}^{cor} = \ddot{\mathbf{U}}_{\mathbf{x}^-}^{pred} + \ddot{\mathbf{U}}_N + \ddot{\mathbf{U}}_T, \quad (14)$$

де $\ddot{\mathbf{U}}_{\mathbf{x}^-}^{pred}$ – прискорення у фазі предиктор, $\ddot{\mathbf{U}}_N$ та $\ddot{\mathbf{U}}_T$ – корекції до прискорення, що відображають вплив властивостей поверхні контакту на сили f_N і f_T , відповідно [7]. Далі, кореговані прискорення вживаються до обчислення швидкостей і переміщень за формулами (11), котрі будуть точно відповідати зазначеним контактним умовам. Оновлені швидкості використовуються щодо обчислення траєкторій ковзання. Таким чином, наприкінці поточного інкременту Δt_{i+1} вектори переміщень і контактних сил повністю визначені з урахуванням нерівностей (7) і (8).

Важливо зазначити, що кінематичний контактний алгоритм усуває існуючі проникнення і/або ковзання наприкінці інкременту, тобто алгоритм не впливає на граничне значення інкременту i , як наслідок, стабільність схеми інтегрування за часом на протязу контактного аналізу.

Скінченоелементне моделювання. Для оцінки точності та ефективності запропонованого вище підходу у рішенні задачі динаміки тіла з тріщиною, береги якої контактують між собою, виконано динамічний аналіз балки з тришарового композиційного матеріалу, що має дефект при зв'язку між окремими шарами. Експериментальні результати динамічних властивостей композиційної балки з нещільністю наведено у статті [8].

Балка була закріплена з одного кінця, та збуджена короткотерміновою силою на незакріпленому кінці для отримання її коливач. У презентованій статті ця балка була змодельована за допомогою програмного комплексу ABAQUS/Explicit [9], реалізуючого явну схему інтегрування за часом спільно з кінематичним контактним алгоритмом. Рис. 1 показує деформовану форму балки у момент часу, коли нещільність найбільш розкрита. Крім того геометрія скінченоелементної моделі балки також ілюструється на цьому малюнку. Виконані чисельні розрахунки у формі історій прискорення та переміщення у

часі для точки вільного кінця балки були трансформовані у амплітудно-частотні криві процедурами пакету Matlab.

Порівняння обчисленої амплітудно-частотної кривої з експериментальними даними [8] представлено на рис. 2. Можна бачити добрий збіг між представленими результатами, що свідчить о високій точності та стабільності чисельного рішення. Ефективність моделювання за описаною у статті схемою визначалась порівнянням з чисельними результатами, отриманими у рамках неявної схеми інтегрування спільно з контактним алгоритмом коефіцієнтів Лагранжа. Зазначимо, що ця чисельна схема не була в змозі виконати розрахунок в зв'язку з нестабільністю рішення в наслідок обробки контактних умов. Деякі штучні дії впроваджувались для отримання рішення, але вони значно змінили результати розрахунків (рис. 2).

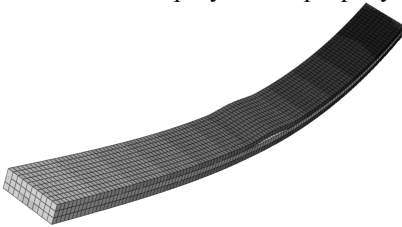


Рис. 1 – Тривимірна
скінченоелементна модель балки.

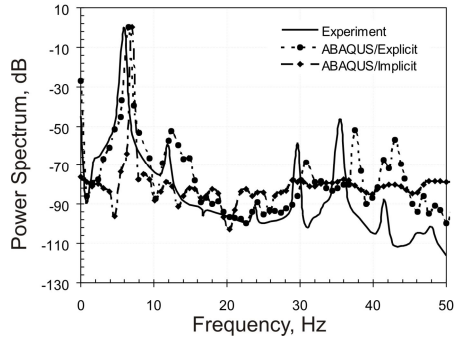


Рис. 2 – Порівняння
амплітудно - частотних кривих.

Висновки. Представлено кінематичний контактний метод в рамках явної схеми інтегрування за часом у скінченоелементному моделюванні задачі нелінійної динаміки тіла з тріщиною. Точність, стабільність та ефективність алгоритму доказано на прикладі рішення задачі щодо оцінки динамічної поведінки балки з композиційного тришарового матеріалу, в якому поміж окремими шарами існувала нещільність.

Список літератури: 1. Babitsky V.I., Theory of vibro-impact systems and applications, Springer, Berlin, 1998. – 352 p. 2. Belytschko T., Liu W.K., Morgan B., Nonlinear finite elements for continua and structures. – John Wiley & Sons Inc., New York, USA, 2000. – 667 p. 3. Wriggers P., Computational contact mechanics. – John Wiley & Sons Ltd, England, 2002. – 441 p. 4. Meguid S.A., Czekanski A., Advances in computational contact mechanics// Int. J. Mech. Mater. Des. 4, 2008, p.p. 419-443. 5. Бураченко В.М., Морачковський О.К., Скінченоелементна модель нелінійної динаміки тіла з тріщиною, береги якої контактують// Вісник НТУ «ХП» –2012.– №2. – С. 44-51. 7. Taylor L.M., Flanagan D.P., PRONTO 3D a three-dimensional transient solid dynamics program// Sandia National Laboratory, Albuquerque, NM, 1989. 8. Prime M.B., Shevitz D.W., Linear and Nonlinear Methods for Detecting Cracks in Beams// Proc. of the 15th International Modal Analysis Conference, 1995, p.p.1437-1443. 9. ABAQUS. User Manual, Dassault Systèmes Simulia Corp. – Providence, RI, USA, 2010.

Надійшла до редколегії 25.10.2012

УДК 621.9

Застосування кінематичного контактного алгоритму з явною схемою інтегрування за часом у скінченноелементних задачах динаміки тіл з тріщиною / В.М. Бурласенко, О.К. Морачковський // Вісник НТУ «ХПІ». Серія «Математичне моделювання у техніці та технологіях». – Харків: НТУ «ХПІ». – 2012. – №54 (960). – С.19–25. – Бібліогр.: 9 назв.

Рассмотрен кинематический контактный метод, используемый в рамках явной схемы интегрирования по времени в конечноэлементном моделировании. Этот алгоритм применяется здесь для решения задач нелинейной динамики тела с трещиной, границы которой могут находиться в контакте. Эффективность и устойчивость алгоритма показана на примере решения задачи о динамическом поведении балки из композиционного трехслойного материала, который частично слоён в соединении между верхним и средним слоями.

Ключевые слова: динамика тел с трещиной; контактный анализ; метод конечных элементов.

A kinematical numerical contact method used with an explicit time integration scheme in finite element modelling is considered. The algorithm is applied to dynamical problems of a body with a crack whose edges are able to come into contact. Its effectiveness and robustness is demonstrated on predictions of dynamic response of a sandwich beam containing a detached region between the top and middle plies.

Key words: dynamics of body with crack; contact analysis; finite element method.

УДК 539.1

В.А. ВАНИН, д-р техн. наук, проф., НТУ «ХПИ»;

А.А. ГРИГОРЬЕВ, аспирант, НТУ «ХПИ»

МОДЕЛИРОВАНИЕ СИНФАЗНЫХ УПРУГИХ КОЛЕБАНИЙ В ВОЛНОВОДАХ И СОНОТРОДАХ ВИНТОВОЙ ФОРМЫ

Разработаны математические модели волнового синфазного поля продольных и связанных колебаний винтового стержня. Установлен изоморфизм между двумя полями связанных колебаний – волновым и обычным, что позволило распространить на волновое поле методы расчёта стержня на прочность и теорию солитонов Рассела. Описаны примеры использования волновых полей для передачи энергии ультразвуковых колебаний.

Ключевые слова: винтовой стержень, упругие колебания, волновое поле, солитоны Рассела, ультразвуковой волновод, сонотрод.

Введение и постановка задачи. Синфазные колебания упругих континуумов (так называемые *стоячие волны*, амплитуда которых образует *волновое поле*) обычно возникают при изменении граничных условий по гармоническому закону с определённой (*синфазной*) частотой. Особенностью исследуемых в данной работе колебаний является то, что они возбуждаются в нелинейной системе, имеют одинаковую для всех её точек амплитуду изменения

© В. А. Ванин, А. А. Григорьев, 2012